

黄土高原苹果树叶片气孔导度的环境响应与模拟

苗玉¹, 高冠龙^{1,2,3}, 李伟¹

(1. 山西大学环境与资源学院, 山西 太原 030006; 2. 陕西省土地整治重点实验室, 陕西 西安 710064;

3. 中国科学院西北生态环境资源研究院, 甘肃 兰州 730000)

摘要: 气孔导度(g_s)是衡量植物与外界环境中水、 CO_2 等物质交换速率的重要参数,其观测与模拟可以有效指示物质交换情况及各项生理参数。通过LI-6400便携式光合测定仪对黄土高原苹果树叶片各项生理参数进行观测,分析 g_s 日变化特征及其与环境因子的响应关系,运用Jarvis模型和Ball-Woodrow-Berry(BWB)模型对 g_s 进行模拟。研究结果显示:(1)黄土高原苹果树 g_s 日变化在气温较高、辐射较强的8、9月观测日内呈双峰曲线。上午(8:00—12:00)随着太阳辐射逐渐增强,气孔张开, g_s 在11:00—13:00出现第一次峰值;中午(12:00—14:00)由于气温(T_a)升高,为避免细胞散失过多水分,气孔关闭出现短暂的“光合午休”现象;午后(14:00—18:00),随着 T_a 、光合有效辐射(PAR)下降, g_s 逐渐增加并在15:00—17:00出现第二次峰值。(2)通过灰色关联度分析,发现 g_s 与各环境因子的关联程度依次为:PAR(0.731)> CO_2 浓度(C_a , 0.712)>饱和水汽压差(VPD, 0.702)> T_a (0.689)>相对湿度(h_s , 0.673)。 g_s 与各环境因子的响应关系表现为:随PAR、 T_a 、 C_a 、 h_s 的增大而增大,随VPD的增大而减小。(3)从 g_s 的模拟结果可以看出, Jarvis模型的决定系数(0.678)、修正效率系数(0.335)和修正一致系数(0.803)均优于BWB模型各值(0.329、-1.630、0.138),而平均绝对误差(0.103)小于BWB模型(0.143),表明Jarvis模型模拟效果较好。通过对黄土高原苹果树叶片 g_s 环境响应与模拟的分析研究,对于掌握苹果树叶片一天内不同时刻对水分的需求变化,进一步提高该地区苹果树种植的水资源利用效率具有重要意义。

关键词: 气孔导度; 灰色关联度; 苹果树; 黄土高原

文章编号:

气孔是调控植物与外界环境中水和 CO_2 等物质能量交换的关键环节,其变化深刻影响着植物蒸腾和光合作用,并对空气相对湿度(h_s , %)和气温(T_a , $^{\circ}\text{C}$)产生重要的调节作用^[1]。气孔交换速率通常用气孔导度(g_s , $\text{mol} \cdot \text{H}_2\text{O} \cdot \text{m}^{-2} \cdot \text{s}^{-1}$)衡量,植物体通过 g_s 实现对光合作用、蒸腾作用等生理特性的影响抑制,并随 T_a 、 CO_2 浓度(C_a , $\mu\text{mol} \cdot \text{mol}^{-1}$)等条件的变化而发生改变,在植物体中起着重要的平衡调节作用。通过分析 g_s 与各环境因子的响应关系,根据植物的生理需求来调控适宜的生长环境是提高植物水分利用效率的重要途径,对于作物水分利用机制过程的解释以及环境的优化管理等都具有重要意

义^[2]。在 g_s 的观测过程中,由于所需工作量大且容易受到外部天气状况的影响,导致在获取长时间序列的数据方面存在困难。因此,运用模型进行模拟成为研究植物 g_s 最有效的方法。目前广泛用于估算 g_s 对环境因子响应的经验模型主要为Jarvis模型和Ball-Woodrow-Berry(BWB)模型^[3]。

苹果是一种重要的经济作物,开展苹果树 g_s 与各环境因子的响应及模拟研究,对于提高该地区苹果树种植的水资源利用效率、进行 g_s 尺度扩展及其与大气间的通量估算等都具有重要意义。有关苹果树 g_s 的变化趋势与环境响应研究,张敏^[4]对不同灌水量、蓄水坑深条件下苹果树 g_s 日变化特征以及

收稿日期: 2020-10-08; 修订日期: 2020-11-23

基金项目: 山西省应用基础研究面上青年基金项目(201801D221286);中国博士后科学基金资助项目(2018M643769);山西省高等学校科技创新项目(2020L0028)和中央高校基本科研业务费(自然科学类)资助项目(300102279505)资助

作者简介: 苗玉(1996-),女,硕士研究生,研究方向为生态水文与植物生理生态研究. E-mail: my09296822@163.com

通讯作者: 高冠龙(1988-),男,博士,讲师,研究方向为干旱区生态水文研究. E-mail: gaoguanlong@sxu.edu.cn

g_s 与净光合速率(P_n , $\mu\text{mol}\cdot\text{m}^{-2}\cdot\text{s}^{-1}$)的响应关系进行具体分析,马文云^[5]、仇群伊^[6]研究了蓄水坑灌条件下苹果树 g_s 与蒸腾速率(T_r , $\text{mol}\cdot\text{m}^{-2}\cdot\text{s}^{-1}$)的日变化特征及二者的响应关系;李波^[7]、李蕊^[8]通过分析 g_s 与土壤含水率、光照强度、光合有效辐射(PAR, $\text{W}\cdot\text{m}^{-2}$)的响应关系,进一步研究了不同坑深、不同灌水上下限条件下 g_s 的季节动态变化;赵文渊等^[9]对蓄水坑灌条件下苹果树冠层 g_s 日变化及影响因子进行了研究,结果均表明苹果树 g_s 日变化呈先升高后降低的趋势,个别观测日内有“光合午休”现象。在 g_s 的模拟研究方面,郑利剑^[10]运用Jarvis模型对蓄水坑灌条件下苹果树 g_s 进行了数值模拟,高照全等^[11]利用Leuning(1995)改进的 g_s 半机理模型模拟了不同灌水条件下盆栽苹果树 T_r 、 g_s 、 P_n 的动态变化。关于苹果树 g_s 的模拟均是基于单一模型,缺乏多模型模拟精度对比研究。

黄土高原属于典型的温带季风气候区,区内降水集中、四季分明,是苹果树种植的优势产区。然而,该区冬春季节气候干旱,降水分布不均导致苹果树生长所需的水分、养料等供应不足,使其生长受到限制。本文以黄土高原苹果树为例,研究苹果树 g_s 与各环境因子的响应关系,选用Jarvis模型和BWB模型对黄土高原苹果树 g_s 进行数值模拟,旨在掌握黄土高原苹果树一天内不同时刻对水分的需求变化,进一步提高该地区苹果树种植的水资源利用效率。

1 研究区概况

试验样地位于山西省农科院植物保护研究所东阳试验研究基地,地处山西省中部地形区,属于温带季风气候区,夏秋季降水集中,冬春季节较干旱,平均年降水量为450 mm, h_s 达60%,年均气温为9.5℃,年均风速为2.4 $\text{m}\cdot\text{s}^{-1}$ 。试验样地内共有苹果树42棵,平均冠幅为316 cm×318 cm,平均地径为10.9 cm。

2 研究方法

2.1 试验设计与方法

试验于2019年7—9月苹果树主要生长季内进行,在试验样地内选取3株长势较好的苹果树作为样树,采用美国LI-6400便携式光合作用测定系统

对 P_n 、 T_r 、 C_a 、叶表面 CO_2 浓度(C_s , $\text{mol}\cdot\text{mol}^{-1}$)、PAR、 g_s 等生理参数进行观测。观测过程中,在样树上选取3片阳生叶片并对各参数值重复记录3次,观测时间为8:00—18:00,时间间隔为1 h,不同观测日期再根据天气、日出日落时间等变化情况做出相应调整。此外,为获取样地内饱和水汽压差(VPD, kPa)、 T_a 、 h_s 和风速(u , $\text{m}\cdot\text{s}^{-1}$)等气象参数,还设置了小型气象站以供观测。数据收集整理完成后,采用SPSS 24.0对数据进行预处理,方便后期利用模型进行模拟分析。

2.2 g_s 模型介绍

Jarvis^[12]模型综合考虑了PAR、VPD、 T_a 和 C_a 对植物叶片 g_s 的影响,其表达式如下:

$$g_s = g_p(\text{PAR})g_D(\text{VPD})g_T(T_a)g_c(C_a) \quad (1)$$

式中: $g_p(\text{PAR})$ 、 $g_D(\text{VPD})$ 、 $g_T(T_a)$ 、 $g_c(C_a)$ 分别表示PAR、VPD、 T_a 、 C_a 对 g_s 的响应函数。在以往的研究中,国内外学者关于单一因子对 g_s 的响应模型给出了不同的表达式:

$$g_{p1}(\text{PAR}) = a_1 + a_2 \text{PAR} \quad (2)$$

$$g_{p2}(\text{PAR}) = \frac{a_1 \text{PAR}}{a_2 + \text{PAR}} \quad (3)$$

$$g_{p3}(\text{PAR}) = \frac{a_1 + a_2 \text{PAR}/a_3}{1 + \text{PAR}/a_3} \quad (4)$$

$$g_{D1}(D) = 1 - b_1(D) \quad (5)$$

$$g_{D2}(D) = \frac{1}{1 + b_1(D)} \quad (6)$$

$$g_{D3}(D) = \frac{1 - b_1(D)}{1 + b_2(D)} \quad (7)$$

$$g_T(T_a) = c_1 + c_2 T_a + c_3 T_a^2 \quad (8)$$

$$g_c(C_a) = 1 - d_1 C_a \quad (9)$$

式中: a_1 、 a_2 、 a_3 、 b_1 、 b_2 、 c_1 、 c_2 、 c_3 、 d_1 均为待定参数; D 为VPD。

BWB^[13]模型假设 g_s 和 A 之间呈线性关系,在很大程度上描述了气孔的开闭机理,计算公式如下所示:

$$g_s = m \frac{Ah_s}{C_s} + g_0 \quad (10)$$

式中: m 和 g_0 为待定参数; A 为光合有效辐射; C_s 为叶表面 CO_2 浓度。

2.3 模型模拟精度评定指标

通过对比实测叶片气孔导度与各模型模拟的气孔导度结果,进而可以确定各模型的模拟精度。本文引用Legates等^[14]研究中所选用的3个数据指

标来评定模型的模拟精度:修正效率系数(E_1)、修正一致系数(d_1)和平均绝对误差(MAE)。各系数计算公式为:

$$E_1 = 1 - \frac{\sum_{i=1}^N |O_i - M_i|}{\sum_{i=1}^N |O_i - \bar{O}|} \quad (11)$$

$$d_1 = 1 - \frac{\sum_{i=1}^N |O_i - M_i|}{\sum_{i=1}^N (|O_i - \bar{O}| + |M_i - \bar{O}|)} \quad (12)$$

$$MAE = \frac{\sum_{i=1}^N |O_i - M_i|}{N} \quad (13)$$

式中: O_i 为实测叶片气孔导度($\text{mol} \cdot \text{H}_2\text{O} \cdot \text{m}^{-2} \cdot \text{s}^{-1}$); M_i 为模拟气孔导度($\text{mol} \cdot \text{H}_2\text{O} \cdot \text{m}^{-2} \cdot \text{s}^{-1}$); \bar{O} 为实测平均气孔导度($\text{mol} \cdot \text{H}_2\text{O} \cdot \text{m}^{-2} \cdot \text{s}^{-1}$); N 为样本总数。如果决定系数(R^2)、 E_1 和 d_1 的值较大而MAE的值较小,且斜率接近于1,则该模型模拟精度高^[15]。

2.4 灰色关联度

灰色关联度分析主要是根据变量间变化发展趋势的相似或一致性程度来反映变量间的关联程度。在对 g_s 进行灰色关联度分析之前,首先要建立一个灰色系统^[16]:选择5个天气晴朗、数据记录较好的典型日作为数据源,将 g_s 设为参考序列,PAR、VPD、 T_a 、 C_a 和 h_s 这5个环境因子设为比较序列,进行关联系数(ξ_{xi})和关联度(r_i)的测定。

2.4.1 无量纲化处理 由于影响苹果树叶片 g_s 的各环境因子的生理意义以及取值范围等都有较大的不同,需要对数据进行无量纲标准化处理。通常无量纲化处理方法包括均值化法、初值化法和 $\frac{x - \bar{x}}{s}$

变换等,本文主要采用 $\frac{x - \bar{x}}{s}$ 变换法进行数据处理。

2.4.2 关联系数和关联度 对无量纲化后的数据进行灰色关联度分析,通过计算可得 g_s 与各环境因子的 ξ_{xi} 和 r_i ,这里的关联程度实质上是指曲线趋势发展的相似程度。本文选定 g_s 作为参考序列,PAR、 C_a 、 T_a 、VPD、 h_s 作为比较序列,计算参考序列与比较序列在各个时刻(即曲线上各点)的 ξ_{xi} 和 r_i 。计算方法如下公式:

$$\xi_{xi} = \frac{\Delta(\min) + \rho \Delta(\max)}{\Delta_{xi}(k) + \rho \Delta(\max)} \quad (14)$$

$$r_i = \frac{1}{N} \sum_{k=1}^N \xi_{xi}(k) \quad (15)$$

式中: ρ 为分辨系数,一般在0~1之间,通常取0.5;参考序列与比较序列之差最小值记为 $\Delta(\min)$,最大值记为 $\Delta(\max)$;参考序列与比较序列每一点的绝对差值记为 $\Delta_{xi}(k)$,其中 xi 表示PAR、 C_a 、 T_a 、VPD、 h_s 这5个比较序列, k 表示环境因子的观测点($k=1, 2, 3, \dots$); N 为各环境因子的观测总数; $\xi_{xi}(k)$ 为比较序列中各时间点的值。

3 结果与分析

3.1 苹果树 g_s 日变化

基于2019年7—9月苹果树主要生长季内实测 g_s 数据,每月选取1~2 d晴朗天气条件分析苹果树叶片 g_s 变化情况(图1)。

由图1可以看出,苹果树叶片 g_s 日变化在气温较高、辐射较强的8、9月观测日内呈现双峰曲线。上午随着光照的不断增强,气孔开度逐渐增大并在11:00—13:00达第一峰值。中午高温辐射条件增大了叶内外水汽压梯度(正午气温一般约在36.8℃,有时甚至超过40℃,图2),蒸腾作用也逐渐强盛,为减少散失过多水分,气孔闭合, g_s 减小。午后 T_a 下

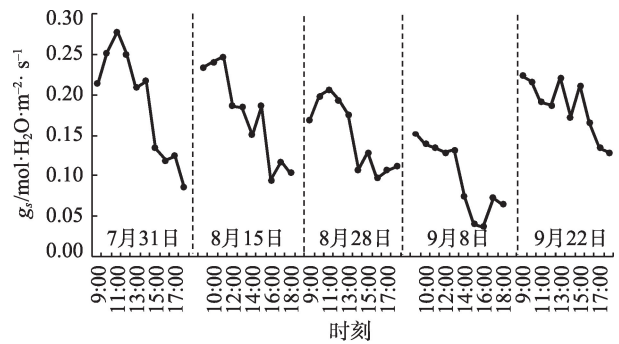


图1 气孔导度(g_s)日变化特征

Fig. 1 Diurnal variations of stomatal conductance (g_s)

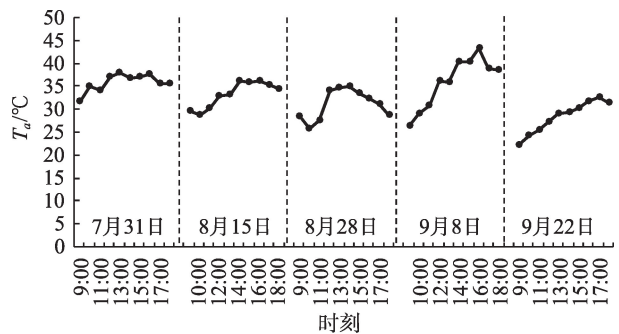


图2 气温(T_a)日变化

Fig. 2 Diurnal variations of air temperature (T_a)

降, g_s 逐渐回升并出现第二次峰值, 且下午 g_s 峰值始终低于上午峰值。

3.2 苹果树 g_s 的环境响应

3.2.1 灰色关联度分析 根据无量纲标准化后的数据分别计算 ξ_{xi} 和 r_i (表1和表2)。表1中显示了各个时刻 g_s 与 PAR、 C_a 、VPD、 T_a 和 h_s 之间的关联程度, 表2则从总体上反映 g_s 与各环境因子的关联度。

表1 各环境因子与气孔导度(g_s)的关联系数

Tab. 1 Correlation coefficient between each environmental factor and stomatal conductance (g_s)

PAR/ $W \cdot m^{-2}$	$C_a/\mu mol \cdot mol^{-1}$	VPD/kPa	$T_a/^\circ C$	$h_s/\%$
0.732	0.423	0.533	0.665	0.484
0.877	0.481	0.555	0.874	0.527
0.815	0.524	0.818	0.677	0.693
0.746	0.498	0.721	0.772	0.628
0.838	0.407	0.751	0.714	0.516
0.492	0.400	0.801	0.843	0.642
0.998	0.522	0.513	0.510	0.590
0.736	0.830	0.646	0.782	0.671
0.911	0.969	0.958	0.775	0.897
0.649	0.931	1.000	0.818	0.833
0.864	0.804	0.893	0.882	0.723
0.678	0.856	0.947	0.992	0.753
0.834	0.521	0.476	0.419	0.497
0.708	0.678	0.734	0.893	0.896
0.612	0.611	0.887	0.915	0.698
0.822	0.845	0.897	0.745	0.718
0.668	0.850	0.702	0.537	0.729
0.561	0.937	0.717	0.529	0.771
0.854	0.646	0.817	0.810	0.645
0.859	0.671	0.841	0.834	0.671
0.755	0.716	0.486	0.510	0.558
0.748	0.797	0.445	0.508	0.544
0.856	0.802	0.334	0.413	0.468
0.480	0.850	0.509	0.604	0.499
0.356	0.702	0.646	0.790	0.599
0.704	0.732	0.574	0.520	0.978
0.787	0.714	0.648	0.541	0.774
0.767	0.840	0.673	0.580	0.662
0.864	0.966	0.932	0.770	0.592
0.341	0.831	0.594	0.445	0.946

注: PAR 为光合有效辐射; C_a 为 CO_2 浓度; VPD 为叶片饱和水汽压差; T_a 为气温; h_s 为空气相对湿度。下同。

由表2可知, g_s 与各环境因子的关联程度依次为: PAR (0.731) > C_a (0.712) > VPD (0.702) > T_a (0.689) > h_s (0.673)。这说明 PAR、 C_a 、VPD 与 g_s 的关系较为密切, 对气孔开度的影响较大, 而 h_s 与 g_s 的关联度最小。

3.2.2 g_s 对各环境因子的响应 太阳光照是植物进行光合、蒸腾作用的重要条件, 也是影响植物叶片 g_s 的重要因素。由图3a中可以看出, g_s 随 PAR 的增大而逐渐增大。上午 (8:00—12:00) g_s 随 PAR 的增大而逐渐增大, 并在 11:00—13:00 间出现第一次峰值; 午间 (12:00—14:00) PAR 持续增强, 当 PAR 超过 $1200 W \cdot m^{-2}$ 后 (午间 PAR 均值达 $1385 W \cdot m^{-2}$), 为减少过多的水分散失气孔闭合, g_s 也随之下落; 午后 (14:00—18:00) 随着 PAR、 T_a 下降, 叶水势得到一定程度的回升, g_s 也呈短暂的上升趋势并出现第二次峰值, 之后 g_s 趋于下降。

CO_2 是植物进行光合作用的重要原料, 通常认为低 C_a 可以促进气孔开张, 高 C_a 会使气孔迅速关闭^[17]。图3b给出了 g_s 对 C_a 的响应关系, 可以看出, 当 C_a 较低时, g_s 随 C_a 的增大逐渐增大; 当 C_a 增大到 $375 \mu mol \cdot mol^{-1}$ 后, g_s 随 C_a 下降的趋势较为明显。维持较高 g_s 的 C_a 范围约在 $350 \sim 375 \mu mol \cdot mol^{-1}$ 之间, 过高或过低的 C_a 都会对植物 g_s 产生一定抑制作用。

图3c给出了 g_s 对 VPD 的响应关系, 可以看到, g_s 随 VPD 的增大而逐渐降低。从全天来看, VPD 从早间开始持续上升, g_s 下降幅度较小; 午间 VPD 迅速增大 (午间 VPD 均值为 $3.784 kPa$, 峰值可达 $7.107 kPa$), 气孔闭合以避免过多的水分散失, g_s 值也迅速下降。

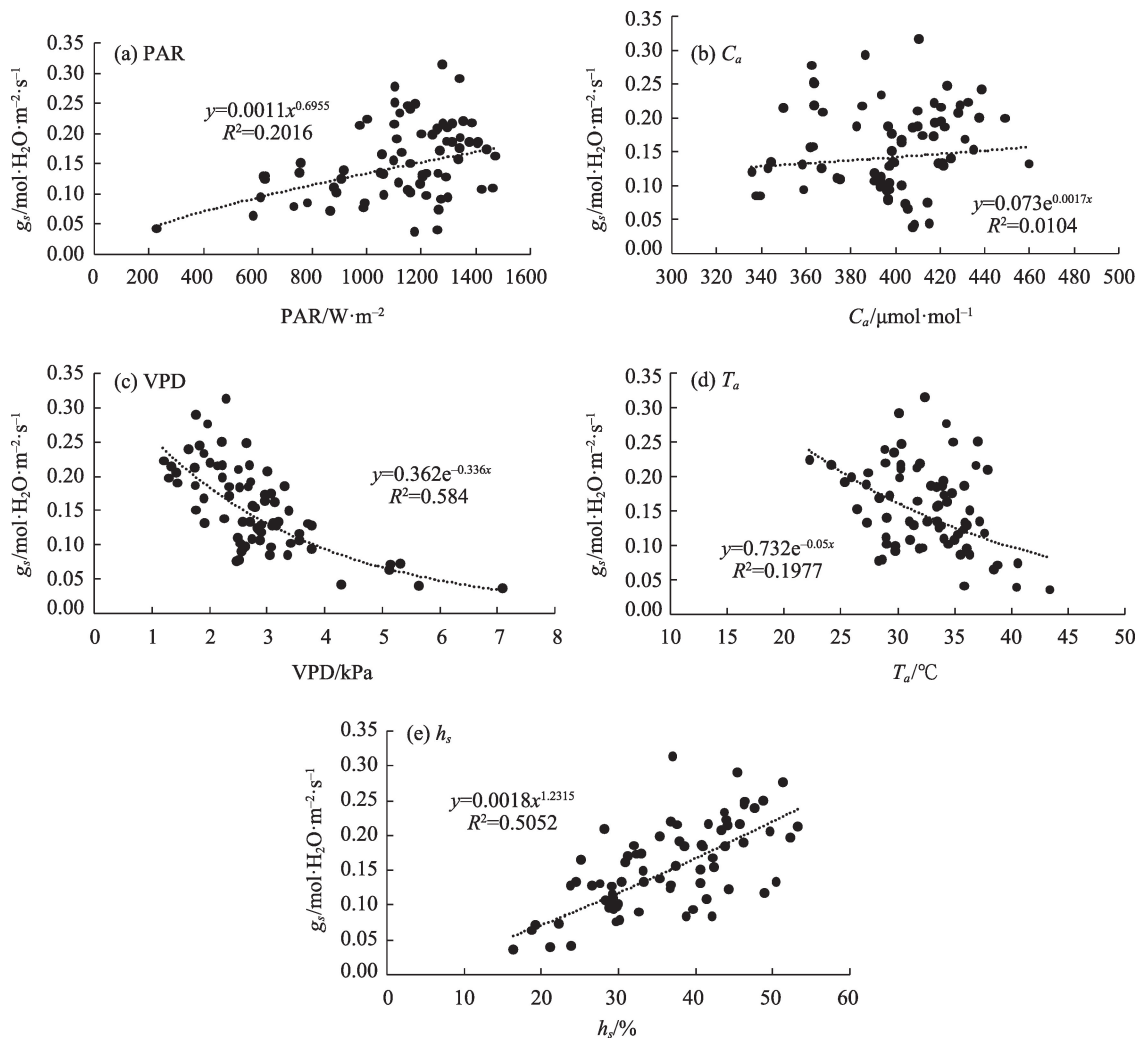
一般认为, T_a 对植物叶片 g_s 的影响是随着 T_a 的升高, g_s 有增大的趋势, 当 T_a 超过某一界限时, g_s 迅速降低。由图3d可以看出, g_s 随 T_a 的升高逐渐增大, 在 $30^\circ C \sim 35^\circ C$ 左右达到最大值, 此后随 T_a 的升高 g_s 逐渐降低。

图3e给出了 g_s 对 h_s 的响应关系, 可以看出, g_s 随 h_s 的增大而增大。从全天来看, 清晨 h_s 较大 (均值约为 43.048% , 峰值可达 52.191%), g_s 随着 h_s 的增大而上升; 午后 (14:00—18:00) 随着 T_a 和 PAR 的不断升高, h_s 迅速下降, g_s 受高温影响也呈下降趋势。

表2 各环境因子与气孔导度(g_s)的关联度

Tab. 2 Correlation between environmental factors and stomatal conductance (g_s)

关联度	PAR/ $W \cdot m^{-2}$	$C_a/\mu mol \cdot mol^{-1}$	VPD/kPa	$T_a/^\circ C$	$h_s/\%$
r_i	0.731	0.712	0.702	0.689	0.673



注： g_s 为苹果树叶片气孔导度；PAR为光合有效辐射； C_a 为 CO_2 浓度；VPD为饱和水汽压差； T_a 为气温； h_s 为空气相对湿度。

图3 苹果树叶片气孔导度(g_s)与各环境因子的关系

Fig. 3 Response relationship between stomatal conductance (g_s) and environmental factors in apple tree leaves

3.3 黄土高原苹果树 g_s 模拟

3.3.1 Jarvis模型、BWB模型表达式的确定 由Jarvis模型中各单一因子对 g_s 的响应模型可以看出，由不同因子计算公式组合确定的Jarvis模型表达式有9种形式。本文基于实际观测的苹果树叶片 g_s 数据，对比分析Jarvis模型不同表达式的模拟结果，比较 R^2 值确定最优模型表达式。此外，通过SPSS 24.0对观测数据进行拟合确定待定系数值，最终确定Jarvis模型和BWB模型的表达式，具体结果见表3和表4。

基于确定的Jarvis模型和BWB模型表达式，结合各参数值模拟计算苹果树叶片 g_s ，再根据评定模型精度指标，综合分析模型的模拟精度。

3.3.2 g_s 模型精度对比 苹果树叶片主要生长季内实测 g_s 与Jarvis模型、BWB模型模拟 g_s 对比见图4和

表3 2019年用于模拟苹果树叶片气孔导度的Jarvis模型结构确定

Tab. 3 Determination of the Jarvis model expressions for estimating stomatal conductance of apple tree in 2019, respectively

表达式	R^2	系数
$g_{p1}(PAR)g_{m1}(VPD)g_r(T_a)g_c(C_a)$	—	—
$g_{p1}(PAR)g_{m2}(VPD)g_r(T_a)g_c(C_a)$	0.677	0.997
$*g_{p1}(PAR)g_{m3}(VPD)g_r(T_a)g_c(C_a)$	0.678	0.756
$g_{p2}(PAR)g_{m1}(VPD)g_r(T_a)g_c(C_a)$	—	—
$g_{p2}(PAR)g_{m2}(VPD)g_r(T_a)g_c(C_a)$	0.628	-0.222
$g_{p2}(PAR)g_{m3}(VPD)g_r(T_a)g_c(C_a)$	0.617	-0.861
$g_{p3}(PAR)g_{m1}(VPD)g_r(T_a)g_c(C_a)$	—	—
$g_{p3}(PAR)g_{m2}(VPD)g_r(T_a)g_c(C_a)$	0.673	0.517
$g_{p3}(PAR)g_{m3}(VPD)g_r(T_a)g_c(C_a)$	0.677	-0.262

注：*表示该模型为最优叶片气孔导度模型；—表示无法进行拟合计算。

表4 Jarvis模型、BWB模型表达式
Tab. 4 The expressions of the Jarvis and BWB models

模型	公式	表达式	R ²
Jarvis模型	$g_s(\text{PAR})g_{bs}(\text{VPD})g_r(T_a)g_c(C_a)$	$g_s = (0.001 + 6.885E - 7\text{PAR}) \times \frac{1 - 2.890\text{VPD}}{1 + 2.730\text{VPD}} \times (-128.936 + 11.444T_a - 0.150T_a^2) \times (1 + 0.003C_a)$	0.678
BWB模型	$g_s = m \frac{A \times h_s}{C_s} + g_0$	$g_s = 0.001 \times \frac{A \times h_s}{C_s} + 0.036$	0.329

表5。从图4中可以看到,通过Jarvis模型计算得到的苹果树 g_s 模拟值在散点图中的分布较BWB模型更为集中,线性拟合方程斜率(0.756)也高于BWB方程线性拟合斜率(0.321)。从表5中可以看到, Jarvis模型的 E_1 (0.335)、 d_1 (0.803)和 R^2 (0.678)均高于BWB模型各对应值(-1.630, 0.138和0.329),而Jarvis模型的MAE(0.103)低于BWB模型(0.143)。因而,在本研究中, Jarvis模型对苹果树叶片 g_s 的模拟精度更高。

4 讨论

本文采用LI-6400光合作用测定系统对苹果树 g_s 进行观测,分析晴朗天气条件下 g_s 的日变化特征,结果显示苹果树 g_s 日变化在气温较高、辐射较强的8、9月观测日内呈双峰曲线,这一结论与高照全等^[11]对不同水分条件下苹果树、李明霞等^[18]对盛果末期苹果树的 g_s 日变化结果一致,其原因在于:上午

受PAR和 T_a 的影响,气孔张开, g_s 迅速上升并在11:00—13:00达第一峰值;午间由于 T_a 升高,强烈蒸腾作用下气孔关闭, g_s 减小;午后 T_a 减弱, g_s 回升并在15:00—17:00出现第二次峰值,且下午 g_s 峰值始终低于上午峰值。

在与环境因子的响应关系中,随着PAR、 C_a 、 h_s 、 T_a 的增加,叶片 g_s 均表现为上升趋势,当超过各因子一定阈值后, g_s 呈下降趋势。这一结论与柴梦滢^[19]、高娟^[20]对苹果树叶片 g_s 与PAR、 T_a 、以及司建华等^[17]对胡杨 g_s 与 C_a 、王海珍等^[21]对灰胡杨 g_s 与 h_s 的响应结果一致,但与阮成江等^[22]对黄土丘陵沙棘 g_s 与 C_a 、唐凤德等^[23]对长白山阔叶红松林叶片 g_s 与 C_a 、 h_s 的响应结果存在差异,这可能与研究区域地理环境和植物种类有关。对于 g_s 与VPD的响应,结果显示 g_s 随VPD的增大而减小,这一结论与王海珍等^[21]对灰胡杨、周丽娜等^[24]对林下参叶片 g_s 与VPD的响应结果一致。 g_s 对环境因子不同的响应关系原因在于:

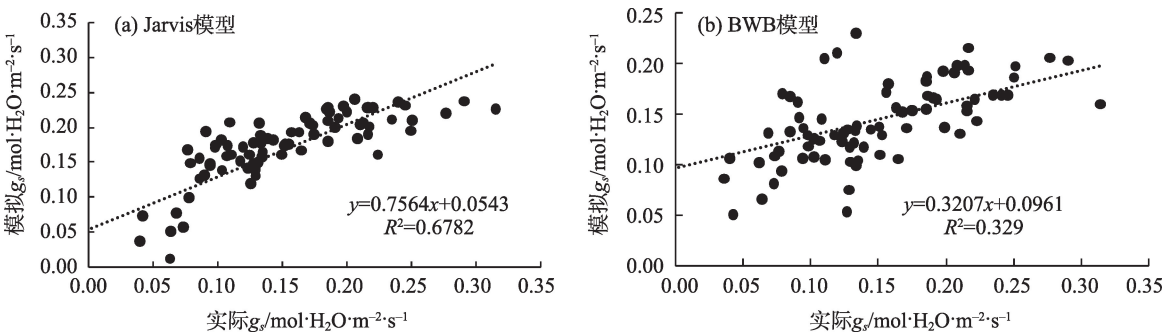


图4 2019年苹果树主要生长季内实测气孔导度与模拟气孔导度对比

Fig. 4 Comparison between the measured and simulated stomatal conductance during the main growing season of apple tree in 2019, respectively

表5 2019年苹果树主要生长季Jarvis、BWB模型模拟精度对比

Tab. 5 Comparison of accuracies between the Jarvis and BWB models in 2019, respectively

模型	修正效率系数(E_1)/mm	修正一致系数(d_1)/mm	平均绝对误差(MAE)/mm	R ²
Jarvis模型	0.335	0.803	0.103	0.678
BWB模型	-1.630	0.138	0.143	0.329

chinaXiv:202104.00053v1

一天之中,随着 PAR 、 T_a 、 C_a 的逐渐增强,气孔开度增大导致叶片 P_n 加快, g_s 呈上升趋势;当各环境因子超过一定阈值后,叶片在外界高温、较高 VPD 的刺激下,为减少细胞散失过多的水分,气孔闭合, g_s 呈下降趋势。而较高的 h_s 多对应于清晨、晚间或阴云、光照较弱等天气状况,相较于晴朗天气条件下的 g_s 数值较低。

本文运用Jarvis模型和BWB模型对苹果树 g_s 进行模拟,结果表明Jarvis模型模拟效果较好,这一结论与郑利剑^[10]运用Jarvis模型模拟苹果树 g_s 的结论一致。此外,高冠龙等^[3]对极端干旱区胡杨林以及马蓉等^[25]对新疆博斯腾湖北岸芦苇叶片 g_s 的模拟结果也同样显示,Jarvis模型的拟合效果更好。未来应加强干旱半干旱气候条件下多种作物的 g_s 模拟以及干旱区自然植被蒸散量估算、模拟^[26]和生态需水量计算^[27],进一步探讨Jarvis模型的适用性。

5 结 论

本文主要对黄土高原苹果树 g_s 进行系统论述,首先分析了叶片 g_s 日变化特征,解释了 g_s 与各环境因子的响应过程,运用Jarvis模型和BWB模型进行模拟分析,得到的研究结论如下:

(1) 黄土高原苹果树 g_s 日变化在气温较高、辐射较强的8、9月观测日内呈双峰曲线,且上午峰值始终高于下午峰值。其原因在于:上午受 PAR 和 T_a 影响,气孔张开, g_s 也迅速上升并在11:00—13:00达第一峰值;午间由于 T_a 升高,强烈的蒸腾作用下气孔关闭, g_s 减小;午后 T_a 减弱, g_s 回升并于15:00—17:00出现第二次峰值,且下午 g_s 峰值始终低于上午峰值。

(2) g_s 与各环境因子的关联程度依次为: $PAR > C_a > VPD > T_a > h_s$,且 g_s 随 PAR 、 T_a 、 C_a 、 h_s 的增大而增大,随 VPD 的增大而减小。 g_s 对环境因子不同的响应关系原因在于:一天之中,随着 PAR 、 T_a 、 C_a 的逐渐增强,气孔开度增大导致叶片 P_n 加快, g_s 呈上升趋势;当各环境因子超过一定阈值后,叶片在外界高温、较高 VPD 的刺激下,为减少细胞散失过多的水分,气孔闭合, g_s 呈下降趋势。而较高的 h_s 多对应于清晨、晚间或阴云、光照较弱等天气状况,相较于晴朗天气条件下的 g_s 数值较低。

(3) g_s 的模拟结果表明Jarvis模型模拟效果较好。在未来,还应加强干旱半干旱气候条件下多种

作物的 g_s 模拟研究以及干旱区自然植被蒸散量估算、模拟和生态需水量计算,进一步探讨Jarvis模型的适用性。

参考文献(References)

- [1] 石建红,周锁铨,余华,等.鄱阳湖流域典型树种夏季气孔导度模型及影响因素比较[J].环境科学研究,2010,23(1):33-40. [Shi Jianhong, Zhou Suoquan, Yu Hua, et al. Stomatal conductance models of typical tree species in the basin of Poyang Lake in summer and comparison of their influencing factors[J]. Research of Environmental Sciences, 2010, 23(1): 33-40.]
- [2] 张中典,张大龙,李建明,等.黄瓜气孔导度、水力导度的环境响应及其调控蒸腾效应[J].农业机械学报,2016,47(6):139-147. [Zhang Zhongdian, Zhang Dalong, Li Jianming, et al. Environmental response of stomatal and hydraulic conductances and their effects on regulating transpiration of cucumber[J]. Transactions of the Chinese Society for Agricultural Machinery, 2016, 47(6): 139-147.]
- [3] 高冠龙,张小由,鱼腾飞,等.极端干旱条件下胡杨叶片气孔导度模拟[J].干旱区地理,2016,39(3):607-612. [Gao Guanlong, Zhang Xiaoyou, Yu Tengfei, et al. Simulation of leaf stomatal conductance of *Populus euphratica* Oliv under extremely dry conditions[J]. Arid Land Geography, 2016, 39(3): 607-612.]
- [4] 张敏.蓄水坑灌条件下苹果树光合特性与影响因子的分析研究[D].太原:太原理工大学,2015. [Zhang Min. The analysis of apple photosynthetic characteristic and relationship with impact factors under water storage pit irrigation[D]. Taiyuan: Taiyuan University of Technology, 2015.]
- [5] 马文云.蓄水坑灌下灌水上下限对不同尺度苹果树蒸腾特性的影响[D].太原:太原理工大学,2019. [Ma Wenyun. Effects of irrigation upper and lower limits on transpiration characteristics of apple trees at different scales under water storage pit irrigation[D]. Taiyuan: Taiyuan University of Technology, 2019.]
- [6] 仇群伊.蓄水坑灌条件下苹果树蒸发蒸腾特性研究[D].太原:太原理工大学,2014. [Qiu Qunyi. Research on characteristics of evaporation and transpiration of apple trees under water storage pit irrigation[D]. Taiyuan: Taiyuan University of Technology, 2014.]
- [7] 李波,郭向红,孙西欢,等.蓄水坑灌条件下不同灌水下限幼龄苹果树叶片光合特性研究[J].节水灌溉,2016,6(5):51-56. [Li Bo, Guo Xianghong, Sun Xihuan, et al. A study on leaf photosynthesis properties of young apple trees at different lower limit of irrigation under water storage pit irrigation conditions[J]. Water Saving Irrigation, 2016, 6(5): 51-56.]
- [8] 李蕊.蓄水坑灌坑深及灌水对矮砧苹果幼树生长影响研究[D].太原:太原理工大学,2017. [Li Rui. Effect of pit depths and irrigation under water storage pit irrigation on growth of dwarf stock young apple trees[D]. Taiyuan: Taiyuan University of Technology, 2017.]

- [9] 赵文渊, 孙西欢, 马娟娟, 等. 蓄水坑灌下苹果树冠层导度日变化及影响因子研究[J]. 节水灌溉, 2020(9): 64–68, 74. [Zhao Wen-yuan, Sun Xihuan, Ma Juanjuan, et al. Study on the diurnal variation of canopy conductance of apple trees under water storage pit irrigation and its influencing factors[J]. Water Saving Irrigation, 2020(9): 64–68, 74.]
- [10] 郑利剑. 基于稳定同位素技术的蓄水坑灌下矮砧苹果树水分迁移机制研究[D]. 太原: 太原理工大学, 2019. [Zheng Lijian. Moisture migration mechanism of dwarfing apple tree under water storage pit irrigation based on stable isotope technology[D]. Taiyuan: Taiyuan University of Technology, 2019.]
- [11] 高照全, 李志强, 陈吉虎. 不同水分条件下盆栽苹果树蒸腾速率动态模拟[J]. 植物生理学报, 2013, 49(12): 1385–1392. [Gao Zhao-quan, Li Zhiqiang, Chen Jihu. Dynamic simulation of transpiration rates of potted apple (*Malus domestica*) trees under different water condition[J]. Plant Physiology Journal, 2013, 49(12): 1385–1392.]
- [12] Jarvis P G. The interpretation of the variations in leaf water potential and stomatal conductance found in canopies in the field[J]. Philosophical Transactions of the Royal Society B: Biological Sciences. 1976, 273(927): 593–610.
- [13] Ball J T, Woodrow I E, Berry J A. A model predicting stomatal conductance and its contribution to the control of photosynthesis under different environmental conditions[J]. Progress in Photosynthesis Research Springer, 1987: 221–224.
- [14] Legates D R, McCabe G J. Evaluating the use of “goodness-of-fit” measures in hydrologic and hydroclimatic model validation[J]. Water Resources Research. 1999, 35(1): 233–241.
- [15] 高冠龙, 冯起, 刘贤德. 等. 三种经验模型模拟荒漠河岸桉柳叶片气孔导度[J]. 生态学报, 2020, 40(10): 1–9. [Gao Guanlong, Feng Qi, Liu Xiande, et al. Simulating the leaf stomatal conductance of the desert riparian *Tamarix ramosissima* Ledeb based on three empirical models[J]. Acta Ecologica Sinica, 2020, 40(10): 1–9.]
- [16] 刘延波, 孙洪荣, 项阳, 等. 灰色关联度分析法筛选贵州玉米苗期抗旱种质[J]. 种子, 2014, 33(10): 74–77. [Liu Yanbo, Sun Hongrong, Xiang Yang, et al. Germplasm selection of drought-resistance maize seedlings by grey relational grade analysis[J]. Seed, 2014, 33(10): 74–77.]
- [17] 司建华, 常宗强, 苏永红, 等. 胡杨叶片气孔导度特征及其对环境因子的响应[J]. 西北植物学报, 2008, 28(1): 125–130. [Si Jianhua, Chang Zongqiang, Su Yonghong, et al. Stomatal conductance characteristics of *Populus euphratica* leaves and response to environmental factors in the extreme arid region[J]. Acta Botanica Boreali-Occidentalia Sinica, 2008, 28(1): 125–130.]
- [18] 李明霞, 耿桂俊, 白岗栓, 等. 更新修剪对盛果末期苹果光合能力及果实品质的影响[J]. 西北农林科技大学学报(自然科学版), 2011, 39(1): 179–185. [Li Mingxia, Geng Guijun, Bai Gangshuan, et al. Effect of renewal pruning on apple photosynthetic ability and fruit quality in final full productive stage[J]. Journal of Northwest A & F University(Natural Science Edition), 2011, 39(1): 179–185.]
- [19] 柴梦滢. 蓄水坑灌下苹果树叶片光合效率的影响研究[D]. 太原: 太原理工大学, 2018. [Chai Mengying. Photosynthetic efficiency of apple leaves under water storage pit irrigation[D]. Taiyuan: Taiyuan University of Technology, 2018.]
- [20] 高娟. 施氮对蓄水坑灌苹果树叶片光合特性及果树生长的影响研究[D]. 太原: 太原理工大学, 2019. [Gao Juan. Effects of nitrogen application on growth and photosynthetic characteristics of apple trees under water storage pit irrigation[D]. Taiyuan: Taiyuan University of Technology, 2019.]
- [21] 王海珍, 韩路, 徐雅丽, 等. 灰胡杨叶片气孔导度特征及数值模拟[J]. 林业科学, 2016, 52(1): 136–142. [Wang Haizhen, Han Lu, Xu Yali, et al. Characteristics of stomatal conductance of *Populus pruinosa* and the quantitative simulation[J]. Scientia Silvae Sinicae, 2016, 52(1): 136–142.]
- [22] 阮成江, 李代琼. 黄土丘陵区沙棘气孔导度及其影响因子[J]. 西北植物学报, 2001, 21(6): 30–36. [Ruan Chengjiang, Li Daiqiong. Stomatal conductance and influence factors of seabuckthorn in Loess Hilly Region[J]. Acta Botanica Boreali-Occidentalia Sinica, 2001, 21(6): 30–36.]
- [23] 唐凤德, 武耀祥, 韩士杰, 等. 长白山阔叶红松林叶片气孔导度与环境因子的关系[J]. 生态学报, 2008, 28(11): 5649–5655. [Tang Fengde, Wu Yaoxiang, Han Shijie, et al. Relationship of stomatal conductance of leaf with environmental factors in broad-leaved Korean pine forest at Changbai Mountain[J]. Acta Ecologica Sinica, 2008, 28(11): 5649–5655.]
- [24] 周丽娜, 刘艳, 张蕾, 等. 林下参叶片气孔导度与环境因子的关系研究[J]. 安徽农业科学, 2009, 37(33): 16616–16618. [Zhou Lina, Liu Yan, Zhang Lei, et al. Research on the relationship between the stomatal conductance and environmental factors of ginseng under forest[J]. Journal of Anhui Agricultural Sciences, 2009, 37(33): 16616–16618.]
- [25] 马蓉, 麦提吐尔逊·艾则孜, 海米提·依米提, 等. 新疆博斯腾湖北岸芦苇叶片气孔导度特征及数值模拟[J]. 西北农业学报, 2016, 25(1): 123–128. [Ma Rong, Mamattursun Eziz, Hamid Yimit, et al. Characteristics and quantitative simulation of stomatal conductance of phragmites communis leaves in north shore of Bosten Lake in Xinjiang[J]. Acta Agriculturae Boreali-occidentalis Sinica, 2016, 25(1): 123–128.]
- [26] 苏里坦, 阿迪力·吐拉别克, 王兴勇, 等. 地下变水位条件下塔里木河下游河岸胡杨林蒸腾模型[J]. 干旱区地理, 2016, 37(5): 916–921. [Su Litan, Adili Tulaerbieke, Wang Xingyong, et al. Transpiration model of *Populus euphratica* in the lower reaches of Tarim River under groundwater fluctuation[J]. Arid Land Geography, 2016, 37(5): 916–921.]
- [27] 刘树宝, 陈亚宁, 李卫红, 等. 黑河下游不同林龄胡杨水分来源的 D、¹⁸O 同位素示踪[J]. 干旱区地理, 2014, 37(5): 988–995. [Liu Shubao, Chen Yaning, Li Weihong, et al. Application of D and ¹⁸O stable isotopes in analyzing the water sources of different ages of *Populus euphratica* in the lower reaches of the Heihe River [J]. Arid Land Geography, 2014, 37(5): 988–995.]

Environmental response and modeling of stomatal conductance of apple trees on the Loess Plateau

MIAO Yu¹, GAO Guanlong^{1,2,3}, LI Wei¹

(1. College of Environment and Resource, Shanxi University, Taiyuan 030006, Shanxi, China; 2. Shaanxi Key Laboratory of Land Consolidation, Chang'an University, Xi'an 710064, Shaanxi, China; 3. Northwest Institute of Eco-Environment and Resources, Chinese Academy of Sciences, Lanzhou 730000, Gansu, China)

Abstract: In this study, stomatal conductance (g_s) was used to measure the exchange rate of water, CO_2 , and other substances between plants and the external environment. The observation and simulation of g_s effectively indicated the exchange of substances and various physiological parameters. The Loess Plateau is typical of a temperate monsoon climatic zone in China and supports an agricultural area dominated by the cultivation of apple trees. In this study, an LI-6400 portable photosynthesis system was used to observe the physiological parameters of apple trees in situ on the Loess Plateau, the diurnal variation characteristics of their g_s , and the relationships of these variables with environmental factors. The g_s was simulated using the Jarvis model and the Ball-Woodrow-Berry (BWB) model. The results show that (1) the diurnal variation of g_s in apple trees on the Loess Plateau showed a bimodal curve in August and September when temperatures were high and radiation was strong. The solar radiation increased gradually in the mornings (8:00—12:00), the stomata opened, and the first peak of g_s appeared between 11:00 and 13:00. Around the noon hour (12:00—14:00), stimulated by the increase in temperature (T_a), the stomata of plants closed for a short period during the “midday depression of photosynthesis” to reduce water loss from plant cells. In the afternoon (14:00—18:00), as T_a and photosynthetically-active radiation (PAR) decreased, g_s gradually increased, and a second peak appeared between 15:00 and 17:00. (2) Using the gray correlation degree, the correlation between g_s and various environmental factors was as follows (in descending order): (PAR, 0.731)> CO_2 concentration (C_a , 0.712)>vapor pressure deficit (VPD, 0.702)> T_a (0.689)>relative humidity (h_s , 0.673). The response relationship between g_s and the various environmental factors produced the following results: (1) it increased with increases in PAR, T_a , C_a , and h_s and decreased with increases in VPD, and (2) The simulation of g_s showed that the value of the determination coefficient (0.678), the modified coefficient of efficiency (0.335), and the modified index of agreement (0.803) were higher in the Jarvis model than in the BWB model (0.329, -1.630, 0.138), and the mean absolute error (0.103) was smaller than the error in the BWB model (0.143). Comparison of the simulation accuracy of multiple models showed that the Jarvis model had superior simulation accuracy. The results of the analysis of g_s in response to environmental factors and its simulation in apple tree leaves on the Loess Plateau is important to understand how the demand for water by the leaves changes throughout the day. This knowledge can be used to improve the efficiency of water utilization and thus optimize the harvest. In the future, simulation studies of g_s for a variety of crops grown in arid and semi-arid climatic conditions may benefit from the application of the Jarvis model in resource management.

Key words: stomatal conductance; grey relational degree analysis; apple tree; Loess Plateau